



Khurasni University

## Estimation of probability density function of inverse Weibull distribution

Hassan Esfandyarifar<sup>1</sup> , Karim Ahmadi Somaeh<sup>2</sup>

1. Corresponding Author, Department of Mathematics, Faculty of Basic Sciences, Imam Ali University, Tehran, Iran. E-mail: [h50p50@yahoo.com](mailto:h50p50@yahoo.com)
2. Agricultural Research Education and Extension Organization, Faculty of Sciences, Tehran, Iran. E-mail: [k.ahmadi@areeo.ac.ir](mailto:k.ahmadi@areeo.ac.ir)

---

### Article Info

#### Article type:

Research Article

#### Article history:

Received: 27 April 2020

Received in revised form:

24 August 2021

Accepted: 12 June 2022

Published online:

6 February 2024

---

### ABSTRACT

The probability density function of the random variable of lifetime has many applications in survival analysis topics. Numerous researchers have researched the estimation of this density function for different random variables. These researchers' estimation methods, include UMVUE, Percentile, Two-observational Percentile, MLE, LSE and WLSE. In this paper, the estimation of Two-observational Percentile Estimation, Percentile Estimation and Maximum Likelihood Estimation of the probability density function of Inverse Weibull random variable, is studied. Based on a random sample with size of  $n$ , order statistics are obtained and using them, the estimation of Two-observational Percentile Estimation, Percentile Estimation and Maximum likelihood Estimation of the probability density function of Inverse Weibull random variable, are obtained. Methods of estimation of parameters, through these three estimates are numerical methods such as Newton-Rafson. In simulation studies, samples of 100, 200, 300, 400 and 500 samples are selected for some values of shape and scale parameters under the repetition of 5,000, the performance of these three estimation methods is compared with average of mean squared error criteria. Finally, the real data is presented and the performance of the estimates is compared with the Akaike, Bayes, and Hanan-Quick information criteria. The results, show that for Inverse Weibull distribution, Maximum likelihood Estimation, as a classical method, offers a better estimate than the Two-observational Percentile Estimation and Percentile Estimation.

---

#### Keywords:

Two-observational percentile estimation,  
Maximum likelihood estimation,  
Percentile estimation,  
Inverse Weibull distribution.

---

**How to cite:** Esfandyarifar, Hassan., Ahmadi Somaeh, Karim. (2023). Estimation of probability density function of inverse Weibull distribution. *Mathematical Researches*, 9 (3), 267 – 278.



© The Author(s).

Publisher: Kharazmi University



## برآورد تابع چگالی احتمال توزیع وایبول معکوس

حسن اسفندیاری فر<sup>۱</sup>، کریم احمدی صومعه<sup>۲</sup>

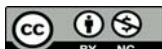
۱. نویسنده مسئول، گروه ریاضی، دانشگاه افسری امام علی (ع)، تهران، ایران. رایانامه: [h50p50@yahoo.com](mailto:h50p50@yahoo.com)  
۲. سازمان تحقیقات آموزش و تربیت کشاورزی، تهران، ایران. رایانامه: [k.ahmadi@areeo.ac.ir](mailto:k.ahmadi@areeo.ac.ir)

اطلاعات مقاله	چکیده
نوع مقاله: مقاله پژوهشی	در این مقاله، برآورد صدکی دومشاهده‌ای، صدکی و ماسکسیم درستنمایی تابع چگالی احتمال متغیر تصادفی وایبول معکوس، مطالعه می‌شود. عملکرد این سه روش برآورده، در مطالعات شبیه سازی، با معیار میانگین توان دوم خطأ، و در بررسی مثال واقعی، با معیارهای اطلاع آکاییک، بیزی و هانان-کوبیک، مقایسه می‌گردد. نتیجه این مقاله، نشان می‌دهد که برای توزیع وایبول معکوس، روش ماسکسیم درستنمایی، به عنوان یک روش کلاسیک، برآورد بهتری نسبت به برآورد صدکی دومشاهده‌ای و برآورد صدکی، پیشنهاد می‌کند.
تاریخ دریافت: ۱۳۹۹/۲/۸	
تاریخ بازنگری: ۱۴۰۰/۵/۳۱	
تاریخ پذیرش: ۱۴۰۱/۳/۲۲	
تاریخ انتشار: ۱۴۰۲/۱۱/۱۷	

### واژه‌های کلیدی:

برآورد صدکی دو مشاهده‌ای،  
برآورد ماسکسیم درستنمایی،  
برآورد صدکی،  
توزیع وایبول معکوس.

استناد: اسفندیاری فر، حسن، احمدی صومعه، کریم، (۱۴۰۲). برآورد تابع چگالی احتمال توزیع وایبول معکوس. پژوهش‌های ریاضی، ۹(۳)، ۲۶۷-۲۷۸.



© نویسنده‌گان

ناشر: دانشگاه خوارزمی

### مقدمه

تابع چگالی احتمال متغیر تصادفی طول عمر، کاربردهای فراوانی در مباحث تحلیل بقا دارد. پژوهشگران متعددی روی برآورد این تابع چگالی، برای متغیرهای تصادفی مختلف، تحقیق کرده‌اند. از جمله این که کلر و همکاران در [۱۰]، توزیع واپسی معکوس را برای مدل‌بندی داده‌های قابلیت اعتماد، استفاده کردند. خان و همکاران در [۱۱]، تحلیل نظری از توزیع واپسی معکوس را ارائه دادند. یعقوب زاده شهرستانی در [۱۲]، برای توزیع بتا-واپسی هندسی، حازی و همکاران در [۹]، برای توزیع واپسی معکوس گسسته، دیکشیت و جباری نوغابی در [۵]، برای توزیع پارتون، جباری نوغابی و جباری نوغابی در [۸]، برای توزیع پارتون نمایی شده، تحقیق کردند. محی‌الدین و ریاض در [۱۴]، جزئیات بیشتری از توزیع واپسی معکوس، بیان کردند. همچنین، باقری و همکاران در [۴]، برای توزیع گمبول نمایی شده، علیزاده و همکاران در [۲۲]، برای توزیع رایلی تعمیم یافته، باقری و همکاران در [۳]، برای توزیع پواسن-نمایی تعمیم یافته، ملکی جبلی و همکاران در [۱۳]، برای توزیع رایلی معکوس، یعقوب زاده شهرستانی و یارمحمدی در [۱۷]، برای توزیع واپسی-هندسی نمایی شده و فیاض حیدری و همکاران در [۷]، برای قابلیت اعتماد، مطالعه و بررسی کردند. روش‌های برآورده این محققان، شامل برآورده ناریب با کمترین واریانس یکنواخت، برآورده صدکی، برآورده صدکی دومشاهده‌ای، برآورده ماکسیمم درست‌نمایی، برآورده کمترین توان دوم خطأ و برآورده کمترین توان دوم خطأ وزنی می‌باشد. در این مقاله، تابع چگالی احتمال واپسی معکوس با استفاده از روش برآورده صدکی دومشاهده‌ای، برآورده شده و با روش‌های ماکسیمم درست‌نمایی و صدکی، طبق معیار میانگین توان دوم خطأ، مقایسه می‌شود. ساختار مقاله حاضر در چهار بخش تشریح می‌شود. در بخش ۲، روش‌های برآوردهایی بررسی می‌شود. در بخش ۳، مطالعات شبیه سازی انجام و با استفاده از معیار میانگین توان دوم خطأ، برآوردهای مذبور مقایسه شده و برآورده بهتر، برای برخی مقادیر پارامتر، معرفی می‌گردد. در ادامه این بخش، یک مثال واقعی ارائه شده و سه برآورده موصوف، با معیارهای اطلاع آکاییک، بیزی و هانان-کوییک، مقایسه می‌شوند. در بخش ۴ نتایج به اختصار بیان می‌گردد.

### ۱. روش‌های برآورده

فرض کنید متغیر تصادفی  $Y$  دارای توزیع واپسی با تابع چگالی احتمال

$$f(y; \alpha, \lambda) = \alpha \lambda^\alpha y^{\alpha-1} e^{-(\lambda y)^\alpha}, \quad y > 0, \alpha > 0, \lambda > 0 \quad (1)$$

باشد. در این صورت متغیر تصادفی  $X = \frac{1}{Y}$  دارای توزیع واپسی معکوس (IW) با تابع چگالی احتمال

$$f(x; \alpha, \lambda) = \alpha \lambda^\alpha x^{-(\alpha+1)} e^{-(\lambda x^{-1})^\alpha}, \quad x > 0, \alpha > 0, \lambda > 0 \quad (2)$$

و تابع توزیع

$$F(x; \alpha, \lambda) = e^{-(\lambda x^{-1})^\alpha}, \quad x > 0, \alpha > 0, \lambda > 0. \quad (3)$$

است. توجه شود که  $\alpha$  پارامتر شکل و  $\lambda$  پارامتر مقیاس است.

فرض کنید  $X_1, \dots, X_n$  نمونه تصادفی  $n$  تایی ازتابع چگالی احتمال (۲) و  $Y_1, \dots, Y_n$  آماره ترتیبی این نمونه باشد. در این بخش، روش‌های برآوردهای دو مشاهدهای، صدکی و ماسکیم درست‌نمایی تابع چگالی (۲) بدست می‌آیند. لازم به یادآوری است که برآوردهای صدکی، برآوردهایی هستند که براساس یک یا دو مقدار از تابع توزیع آماره‌های ترتیبی نمونه، بدست می‌آیند. اگر فقط از یک مقدار استفاده شود به آن برآوردهای تک مشاهدهای، یا به اختصار برآوردهای صدکی، و اگر از دو مقدار استفاده شود به آن برآوردهای دو مشاهدهای گویند.

**2.1. برآوردهای دو مشاهدهای صدکی:** فرض کنید  $p_i = F(y_i, \alpha, \lambda)$  که  $F(y_i, \alpha, \lambda)$  تابع توزیع آماره ترتیبی آم است. در این صورت با استفاده از تابع توزیع واپیل معکوس و دوبار عمل لگاریتم گیری عبارت

$$\alpha(\log\lambda - \log y_i) = \log(-\log p_i). \quad (4)$$

به دست می‌آید. با استفاده از رابطه (4) و برای دو مقدار  $1 < p_1 < p_2$  به دست می‌آید.

$$\begin{cases} \alpha(\log\lambda - \log y_1) = \log(-\log p_1) \\ \alpha(\log\lambda - \log y_2) = \log(-\log p_2) \end{cases}$$

$$\begin{cases} \alpha \log\lambda - \alpha \log y_1 = \log(-\log p_1) \\ \alpha \log\lambda - \alpha \log y_2 = \log(-\log p_2) \end{cases}$$

با حل دستگاه فوق

$$\alpha = \frac{\log(-\log p_2) - \log(-\log p_1)}{\log Y_1 - \log Y_2}$$

به دست می‌آید. در نتیجه، برآوردهای دو مشاهدهای  $\alpha$  عبارت است از

$$\alpha^* = \frac{\log(-\log p_2) - \log(-\log p_1)}{\log Y_{k_1} - \log Y_{k_2}} = \frac{\log[-\log(1 - p_1^*)] - \log[-\log(1 - p_2^*)]}{\log Y_{k_1} - \log Y_{k_2}} \quad (5)$$

که در آن

$$k_i = \begin{cases} np_i & , \quad np_i \in \mathbb{Z} \\ [np_i] + 1 & , \quad np_i \notin \mathbb{Z} \end{cases}$$

به طوری که  $[np_i]$  به معنای جزء صحیح عدد  $np_i$  است و

دوبی در [۶]، اعلام کرد که تمام برآوردهای صدکی، از جمله صدکی دومشاهدهای و فارغ از نوع توزیع، دارای توزیع مجانبی نرمال هستند. این موضوع با استفاده از قضیه موستلر در [۱۵]، و لم رائو در [۱۶]، به دست می‌آید. بنابراین  $\alpha^*$  دارای توزیع مجانبی نرمال با میانگین  $\alpha$  و واریانس

$$Var(\alpha^*) = \frac{\alpha^2}{nk^2} \left[ \frac{p_1^*}{(1-p_1^*)\log^2(1-p_1^*)} + \frac{p_2^*}{(1-p_2^*)\log^2(1-p_2^*)} - \frac{2p_1^*p_2^*}{(1-p_1^*)(1-p_2^*)\log(1-p_1^*)\log(1-p_2^*)} \right] \quad (6)$$

است.

این واریانس، هنگامی کمینه است که  $p_1 = 0.8326932$  ،  $p_1^* = 0.16730679$  . این مقادیر با استفاده از بسته BP در نرم افزار R بدست آمده‌اند.

در نتیجه، بهترین برآورد صدکی دومشاهدهای (BTPE) برای  $\alpha$ ، که با نماد  $\hat{\alpha}_{BTPE}$  نشان داده می‌شود، به صورت

$$\hat{\alpha}_{BTPE} = \frac{-2.988881}{\log Y_{k_1} - \log Y_{k_2}} \quad (7)$$

به دست می‌آید، به طوری که

$$k_1 = \begin{cases} 0.02633648n & , \quad 0.02633648n \in Z \\ [0.02633648n] + 1 & , \quad 0.02633648n \notin Z \end{cases}$$

$$k_2 = \begin{cases} 0.8326932n & , \quad 0.8326932n \in Z \\ [0.8326932n] + 1 & , \quad 0.8326932n \notin Z. \end{cases}$$

برای برآورد صدکی دو مشاهدهای  $\lambda$ ، که با  $\lambda^*$  نشان داده می‌شود، از رابطه (۴) استفاده می‌شود. از این رو

$$\begin{cases} \alpha(\log \lambda - \log y_3) = \log(-\log p_3) \\ \alpha(\log \lambda - \log y_4) = \log(-\log p_4) \end{cases}$$

در نتیجه

$$\frac{\log \lambda - \log y_3}{\log \lambda - \log y_4} = \frac{\log(-\log p_3)}{\log(-\log p_4)}$$

بنابراین

$$\log(-\log p_4)(\log \lambda - \log y_3) = \log(-\log p_3)(\log \lambda - \log y_4)$$

$\log \lambda = \frac{\log y_3 \log(-\log p_4)}{\log(-\log p_4) - \log(-\log p_3)} - \frac{\log y_4 \log(-\log p_3)}{\log(-\log p_4) - \log(-\log p_3)}$

و در نتیجه

$$\lambda = \exp\left(\frac{\log y_3 \log(-\log p_4)}{\log(-\log p_4) - \log(-\log p_3)} - \frac{\log y_4 \log(-\log p_3)}{\log(-\log p_4) - \log(-\log p_3)}\right).$$

از این رو  $\lambda^*$  به صورت

$$\lambda^* = \exp(w_1 \log Y_{k_3} + w_2 \log Y_{k_4}) \quad (8)$$

به دست می‌آید که در آن

$$w_1 = \frac{\log(-\log p_4)}{\log(-\log p_4) - \log(-\log p_3)}, \quad w_2 = \frac{-\log(-\log p_3)}{\log(-\log p_4) - \log(-\log p_3)}.$$

دوبی در [۶]، اعلام کرد که تمام برآوردهای صدکی، دارای توزیع مجانبی نرمال هستند، بنابراین  $\lambda^*$ ، دارای توزیع مجانبی نرمال با میانگین  $\lambda$  و واریانس به صورت

$$Var(\lambda^*) = \frac{\lambda^2}{nk^2} \left\{ r_1^* \left( \frac{k-\log k_1}{k_1} \right) \left[ \frac{k-\log k_1}{k_1} + \frac{2\log k_1}{k_2} \right] + \frac{r_2^* \log^2 k_1}{k_2^2} \right\} \quad (9)$$

است به طوری که

$$k = \log(-\log p_4) - \log(-\log p_3), \quad r_1 = 1 - p_4, \quad r_2 = 1 - p_3$$

۹

$$r_i^* = \frac{r_i}{1 - r_i}, \quad k_i = -\log(1 - r_i).$$

این واریانس، هنگامی کمینه است که،  $r_1 = 0.39777$  و  $r_2 = 0.82111$  این مقادیر با استفاده از بسته BP در نرم افزار R بدست آمده اند. بنابراین، بهترین برآورد صدکی دو مشاهدهای برای  $\lambda$ ، که با نماد  $\hat{\lambda}_{BTPE}$  نشان داده می‌شود، به صورت

$$\hat{\lambda}_{BTPE} = \exp(\hat{w}_1 \log Y_{k_3} + \hat{w}_2 \log Y_{k_4}) = \exp(0.5556994 \log Y_{k_3} + 0.4443006 \log Y_{k_4}) \quad (10)$$

به دست می‌آید که در آن

$$\hat{w}_1 = \frac{\log(-\log(1 - r_1))}{\log(-\log(1 - r_1)) - \log(-\log(1 - r_2))},$$

$$\widehat{w}_2 = \frac{-\log(-\log(1-r_2))}{\log(-\log(1-r_1)) - \log(-\log(1-r_2))}$$

به طوری که

$$k_3 = \begin{cases} 0.17889n & , \quad 0.17889n \in Z \\ [0.17889n] + 1 & , \quad 0.17889n \notin Z \end{cases}$$

و

$$k_4 = \begin{cases} 0.60223n & , \quad 0.60223n \in Z \\ [0.60223n] + 1 & , \quad 0.60223n \notin Z. \end{cases}$$

در نتیجه، بهترین برآورد صدکی دومشاهدهای برای تابع چگالی رابطه (۲)، که با نماد  $\hat{f}_{BTPE}$  نشان داده می‌شود، به صورت

$$\hat{f}_{BTPE}(x; \alpha, \lambda) = \hat{\alpha}_{BTPE} \hat{\lambda}_{BTPE}^{\hat{\alpha}_{BTPE}} x^{-(\hat{\alpha}_{BTPE}+1)} \exp\left(-(\hat{\lambda}_{BTPE} x^{-1})^{\hat{\alpha}_{BTPE}}\right) \quad (11)$$

به دست می‌آید.

میانگین توان دوم خطای این برآوردگر، با روش‌های شبیه سازی مانند شبیه سازی مونت کارلو، به دست می‌آید، زیرا این معیار، دارای انگرال‌هایی است که فقط به صورت عددی قابل حل هستند.

**2.2 برآورد صدکی:** فرض کنید  $p_i$ ، صدک  $Y_i$  باشد، یعنی  $F(y_i, \alpha, \lambda)$  که  $p_i = F(y_i, \alpha, \lambda)$  تابع توزیع آماره ترتیبی  $i$  ام هست. در این صورت با استفاده از تابع توزیع واپبل معکوس و دوبار عمل لگاریتم گیری، رابطه (۴) به دست می‌آید. برآوردهای صدکی (PCE) برای  $\alpha$  و  $\lambda$ ، از کمینه کردن عبارت

$$\sum_{i=1}^n (\alpha(\log \lambda - \log Y_i) - \log(-\log p_i))^2 \quad (12)$$

نسبت به  $\alpha$  و  $\lambda$  محاسبه می‌شوند، به طوری که

$$p_i = \frac{i}{n+1}.$$

زیرا  $Y_1, Y_2, \dots, Y_n$  آماره ترتیبی نمونه  $X_1, X_2, \dots, X_n$  و  $p_i = F(y_i)$  تابع توزیع  $Y_i$  بوده و  $(y_1, \dots, y_n)$  دارای توزیع  $F(y_1, \dots, y_n)$  هستند. اگر آماره‌های ترتیبی مربوط به  $F(y_i)$  را با  $p_{(1)}, \dots, p_{(n)}$  نشان دهیم آن‌گاه  $(p_{(1)}, \dots, p_{(n)})$  یکنواخت روی بازه  $(0, 1)$  هستند. دارای توزیع بتا با پارامترهای  $i$  و  $n-i+1$  بوده و امیدریاضی آن، که همان میزان متوسط  $(p_{(i)})$  است،  $\frac{i}{n+1}$  می‌باشد.

با مشتق‌گیری رابطه (۱۲) نسبت به  $\alpha$  و  $\lambda$  و حل دستگاه معادلات

$$n\alpha(\log \lambda)^2 - \log \lambda \sum_{i=1}^n \log(-\log p_i) + \left( \sum_{i=1}^n \log Y_i \log(-\log p_i) + \alpha \sum_{i=1}^n (\log Y_i)^2 \right) = 0$$

$$n\alpha \log \lambda - \alpha \sum_{i=1}^n \log Y_i - \sum_{i=1}^n \log(-\log p_i) = 0$$

برآوردهای صدکی  $\alpha$  و  $\lambda$ ، که به ترتیب با  $\hat{\alpha}_{PCE}$  و  $\hat{\lambda}_{PCE}$  نشان داده می‌شوند، به دست می‌آید. روش نیوتن-رافسون، روش پیشنهادی حل این دستگاه است. با جایگذاری  $\hat{\alpha}_{PCE}$  و  $\hat{\lambda}_{PCE}$  در رابطه (۲)، برآورد صدکیتابع چگالی وایبول معکوس به دست می‌آید. میانگین توان دوم خطای این برآوردگر نیز، با روش‌های عددی محاسبه می‌گردد.

### ۲. برآورد ماکسیمم درست نمایی: در این بخش، از روش نیوتن-رافسون استفاده کرده و با حل دستگاه معادلات

$$\frac{n}{\alpha} + n \log \lambda - \sum_{i=1}^n \log x_i - \sum_{i=1}^n \left( \frac{\lambda}{x_i} \right)^\alpha \log \left( \frac{\lambda}{x_i} \right) = 0 \quad \text{و} \quad \lambda = \left( \frac{n}{\sum_{i=1}^n x_i^{-\alpha}} \right)^{\left(\frac{1}{\alpha}\right)}$$

برآوردهای ماکسیمم درست نمایی  $\alpha$  و  $\lambda$ ، که به ترتیب با  $\hat{\alpha}_{MLE}$  و  $\hat{\lambda}_{MLE}$  نشان داده می‌شود، به دست می‌آیند. با جایگذاری برآوردهای به دست آمده در تابع چگالی احتمال (۱)، برآورد ماکسیمم درست نمایی تابع چگالی وایبول معکوس محاسبه شده و همچنین میانگین توان دوم خطای این برآوردگر، همانند دو برآوردگر دیگر، با روش‌های عددی به دست می‌آید.

### ۳. روش‌های عددی

در این بخش، با استفاده از معیار میانگین توان دوم خطای و مطالعات شبیه سازی، سه روش برآوردهای بخش ۲ با یکدیگر مقایسه شده و برای یک مثال واقعی، بررسی می‌شوند.

### ۳.۱. مطالعات شبیه سازی: در قدم اول، از رابطه

$$X = \lambda [-\log U]^{-\frac{1}{\alpha}}$$

استفاده شده و به ازای  $n = 100, 200, \dots, 500$  از توزیع وایبول معکوس، تولید می‌شوند. دقت شود که  $U$ ، متغیر تصادفی یکنواخت در بازه  $(0, 1)$  است. در قدم دوم برآوردهای صدکی، ماکسیمم درست نمایی و صدکی دوم مشاهدهای  $\alpha$  و  $\lambda$  بدست می‌آیند. سرانجام، در قدم سوم برآوردهای صدکی، ماکسیمم درست نمایی و صدکی دوم مشاهدهای تابع چگالی وایبول معکوس محاسبه می‌شوند. قدم‌های اول تا سوم، ۵۰۰۰ بار تکرار شده و متوسط تکرار ۵۰۰۰ تایی میانگین توان دوم خطای  $\alpha$  و  $\lambda$  مقایسه می‌شوند. برآوردهای دارای متوسط میانگین

توان دوم خطای (AM) کمتری باشد، برآورد بهینه است. در جدول ۱، به ازای برخی مقادیر  $\alpha$  و  $\lambda$  محاسبات برآورده نشان داده شده است.

جدول ۱: متوسط برآوردهای پارامتر  $\alpha$  و  $\lambda$  و متوسط میانگین توان دوم خطای (AM) تابع چگالی واپبول معکوس

$AM(\hat{f}_{MLE})$	$AM(\hat{f}_{PCE})$	$AM(\hat{f}_{BPE})$	$\hat{\lambda}_{MLE}$	$\hat{\alpha}_{MLE}$	$\hat{\lambda}_{PCE}$	$\hat{\alpha}_{PCE}$	$\hat{\lambda}_{BTPE}$	$\hat{\alpha}_{BTPE}$	n	$(\alpha, \lambda)$
0.48280	0.77035	4.34874	3.6372	1.9731	2.2954	1.4786	1.0079	4.8367	100	(2,3)
0.43818	0.79027	4.46875	3.6005	1.9642	2.2611	1.4728	1.0102	4.6467	200	(2,3)
0.46429	0.78236	4.48392	3.5936	1.9634	2.2551	1.4551	1.0110	4.5511	300	(2,3)
0.46307	0.78222	4.42212	3.5841	1.9586	2.2295	1.4498	1.0109	4.6769	400	(2,3)
0.48618	0.77847	4.47561	3.5835	1.9594	2.2351	1.4518	1.0108	4.6228	500	(2,3)
0.00931	0.02392	0.00994	1.1672	0.3301	0.8936	2.4553	1.1072	4.8612	100	(4,1.5)
0.00859	0.02798	0.01020	1.1652	0.3299	0.8332	2.4476	1.1492	4.2922	200	(4,1.5)
0.00859	0.02561	0.01051	1.1652	0.3295	0.7956	2.4444	1.1412	4.0555	300	(4,1.5)
0.00793	0.02709	0.01077	1.1656	0.3292	0.7693	2.4409	1.1577	3.8799	400	(4,1.5)
0.00795	0.02778	0.01095	1.1651	0.3293	0.7542	2.4426	1.1510	3.7940	500	(4,1.5)
0.00817	3.47621	0.01412	0.2540	2.5424	1.6962	0.1531	1.5782	2.0932	100	(1.5,0.25)
0.00808	3.14124	0.00890	0.2534	2.5072	3.0855	0.1093	1.5801	2.0281	200	(1.5,0.25)
0.00745	2.65151	0.00786	0.2531	2.4900	6.4183	0.0902	1.5799	2.0289	300	(1.5,0.25)
0.00816	2.53194	0.00866	0.2526	2.4718	24.016	0.0783	1.5769	2.0029	400	(1.5,0.25)
0.00798	2.28138	0.00862	0.2529	2.4811	11.233	0.0696	1.5771	2.0118	500	(1.5,0.25)

مطالعات شبیه سازی نشان می‌دهد که با معیار میانگین توان دوم خطای روش ماکسیمم درستنمایی عملکرد بهتری دارد.

**3.2. مثال واقعی:** در این بخش، با استفاده از یک مجموعه داده واقعی، برآورد ماکسیمم درستنمایی، برآورد صدکی وبهترین برآورد صدکی دو مشاهده ای تابع چگالی احتمال توزیع واپبول معکوس، بدست می‌آید. این مجموعه داده، که توسط لاؤس(۲۰۰۳) داده شده است، شامل ۴۸ مشاهده از زمان تعییر(بر حسب ساعت) فرستنده‌های هوایی است. جدول ۲ مقادیر جمع آوری شده را نشان می‌دهد.

جدول ۲: مقادیر مشاهده شده زمان تعییر

0.2	0.3	0.5	0.5	0.5	0.5	0.6	0.6	0.7	0.7	0.7	0.7	0.8	1.0	1.0	1.0	1.0	1.0	1.0
1.1	1.3	1.5	1.5	1.5	1.5	2.0	2.0	2.2	2.5	2.7	3.0	3.0	3.3	3.3	4.0	4.0		
4.5	4.7	5.0	5.4	5.4	7.0	7.5	8.8	9.0	10.3	7.5	8.8	9.0	10.3					

اکنون، توزیع واپبول معکوس بر این داده ها برآش داده می‌شود، که نتیجه آن با معیار آماره نیکویی برآش کولموگروف-اسمیرینف، به شرح جدول ۳ است.

جدول ۳: مقادیر پارامترهای شکل و مقیاس

احتمال با معنایی	آماره کولموگروف-اسمیرینف	پارامتر مقیاس	پارامتر شکل
۰,۹۱۹۷	0.0815	1.125229	1.011941

برطبق جدول ۳، با توجه به احتمال بامعنایی، توزیع نظری واپسی معکوس با توزیع تجربی ناشی از داده‌ها، هماهنگ و برآورده پارامترهای شکل و مقیاس، با استفاده از روش مکسیمم درست‌نمایی انجام شده است. در جدول ۴، برآورده این پارامترها با سه روش بیان شده در این مقاله، انجام گرفته و مقدار لگاریتم تابع درست‌نمایی هر کدام نیز، داده شده است.

جدول ۴: مقایسه مقادیر پارامترهای شکل و مقیاس

لگاریتم درست‌نمایی	پارامتر مقیاس	پارامتر شکل	روش
-100.6268	1.125229	1.011941	مکسیمم درست‌نمایی
-113.6210	2.125229	1.034082	صدکی دو مشاهده‌ای
-144.4124	2.897111	1.124321	صدکی

بر طبق جدول ۴، روش مکسیمم درست‌نمایی، دارای بیشترین مقدار در لگاریتم درست‌نمایی است که نشان می‌دهد، بهتر از دیگر روش‌ها عمل می‌کند. برای بررسی بیشتر موضوع، از سه معیار اطلاع آکاپیک (AIC)، بیز (BIC) و هانان-کوییک (HQC) استفاده می‌شود. این سه معیار، با روابط

$$AIC = -2\log L(\theta) + 2k$$

$$BIC = -2\log L(\theta) + k \log n$$

$$HQC = -2\log L(\theta) + 2k \log(\log n)$$

تعریف می‌شوند، که در آنها  $n$ ، تعداد مشاهدات،  $k$  تعداد درست‌نمایی است. هر روشی که دارای معیار اطلاع کمتری باشد، برآورده بهتری ارائه می‌دهد. در جدول ۵، مقایسه معیارهای اطلاع برای سه روش برآورده موصوف در مقاله، آورده شده است.

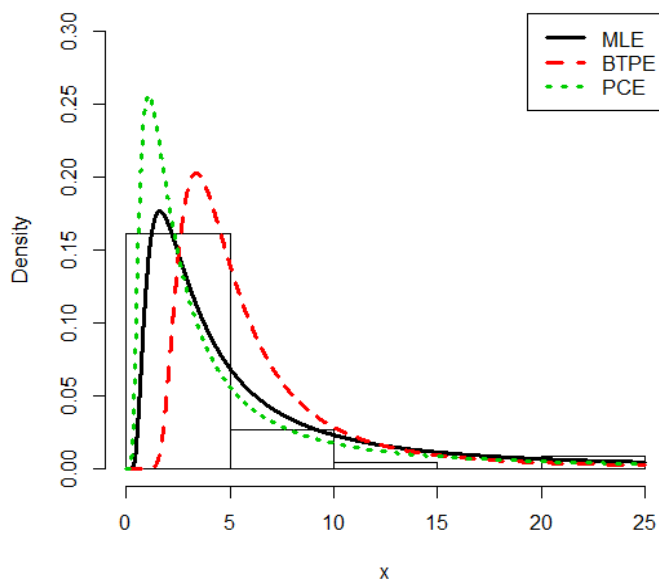
جدول ۵: مقایسه معیارهای اطلاع

HQC	BIC	AIC	روش
206.6236	208.9109	203.2536	مکسیمم درست‌نمایی
232.612	234.8993	229.242	صدکی دو مشاهده‌ای
294.1948	296.4821	290.8248	صدکی

برطبق جدول<sup>۵</sup>، مشخص است که روش ماکسیمم درستنامایی، معیارهای اطلاع کمتری دارد. بنابراین روش ماکسیمم درستنامایی برآورد بهتری ارائه می‌کند.

نمودار ۱، نمودار هیستوگرام و برآورد تابع چگالی توزیع وایبول معکوس را برای مثال واقعی و با هر سه روش ماکسیمم درستنامایی، صدکی دو مشاهده ای و صدکی، نشان می‌دهد.

بر طبق این نمودار، در طبقه دارای بیشترین فراوانی نسبی، برآورد ماکسیمم درستنامایی تابع چگالی، نزدیکی بیشتری را به نمودار هیستوگرام دارد و برای طبقات با فراوانی نسبی کمتر، سه روش برآورده ب هم نزدیک می‌شوند.



نمودار ۱. مقایسه سه روش برآورد تابع چگالی احتمال متغیر تصادفی وایبول معکوس با نمودار هیستوگرام

#### ۴. نتیجه گیری

در این مقاله، سه روش برآورد تابع چگالی احتمال برای متغیر تصادفی وایبول معکوس، با هم مقایسه شد. عملکرد این سه روش برآورده، چه در مطالعات شبیه سازی با معیار میانگین توان دوم خطأ و چه در بررسی مثال واقعی با معیارهای اطلاع سه گانه و لگاریتم درستنامایی، نشان داد که روش ماکسیمم درستنامایی، عملکرد بهتری نسبت به دو روش صدکی و صدک دو مشاهده ای دارد. نتیجه نهایی این که برای توزیع وایبول معکوس، روش ماکسیمم درستنامایی، به عنوان یک روش کلاسیک، برآورده بهتری نسبت به برآورده صدکی دو مشاهده ای و برآورده صدکی ارائه می‌دهد.

#### تشکر و تقدیر

نویسنگان مقاله از زحمات سردبیر، داوران محترم مجله و ویراستار برای داوری و تصحیح مقاله تشکر می‌کنند.

## References

۱. یعقوب زاده شهرستانی شهرام، برآوردهای تابع چگالی احتمال توسعه تجمعی توزیع بتا وایبول هندسی، مجله علوم آماری، ۳۷۹-۳۵۷ (۱۳۹۶) (۲) (۱۱).
2. M. Alizadeh, S.F. Bagheri and M. Khaleghy Mogaddam, Efficient Estimation of the Density and Cumulative Distribution Function of the Generalized Rayleigh Distribution, Journal of Statistical Research of Iran, **10**(1) (2013), 1-22.
3. S.F. Bagheri, M. Alizadeh, E. Baloui Jamkhaneh and S. Nadarajah, Evaluation and Comparison of Estimations in the Generalized Exponential-Poisson Distribution, Journal of Statistical Computation and Simulation, 2013a.
4. S.F. Bagheri, M. Alizadeh and S. Nadarajah, Efficient Estimation of the PDF and the CDF of the Exponentiated Gumbel Distribution, Communications in Statistics-Simulation and Computation, (2013b).
5. U.J. Dixit and M. Jabbari Nooghabi, Efficient Estimation in the Pareto Distribution. Statistical Methodology, **7** (2010), 687-691.
6. S.D. Dubey, Some Percentile Estimators for Weibull Parameters, Technometrics, **9** (1967), 119-129.
7. K. Fayyaz Heidari, E. Deiri and E. Baloui Jamkhaneh, Using the best two observational percentile and maximum likelihood methods in a multicomponent stress-strength system to reliability estimation of inverse Weibull distribution, Life Cycle Reliability and Safety Engineering, Published Online: 12 March 2021.
8. M. Jabbari Nooghabi and H. Jabbari Nooghabi, Efficient Estimation of pdf, CDF and rth Moment for the Exponentiated Pareto Distribution in the Presence of Outliers, Statistics, **44** (2010), 1-20.
9. M. Jazi, C. Lai and M. Alamatsaz, A discrete inverse Weibull distribution and estimation of its parameters, Stat Methodol, **7** (2) (2010), 121–132.
10. A. Keller, A. Kamath and U. Perera, Reliability analysis of CNC machine tools, Stat Methodol, **3** (6) (1982), 449-473.
11. M. Khan, G. Pasha and A. Pasha, Theoretical analysis of inverse Weibull distribution, WSEAS Trans Math, **7** (2) (2008), 30-38.
12. J.F. Lawless, Statistical Models and Methods for Lifetime Data, New York, John Wiley & Sons, 2003.
13. F. Maleki Jebely, K. Zare and E. Deiri, Efficient estimation of the PDF and the CDF of the inverse Rayleigh distribution. Journal of Statistical Computation and Simulation, **88** (1) (2018), 75-88.
14. M. Mohie El-Din and F. Riad, Estimation and prediction for the inverse Weibull distribution based on records. J Adv Res Stat Probab, **2** (3) (2011), 20-27.
15. F. Mosteler, On some useful inefficient statistics ,Ann. Math. Statist, **17** (1946), 377-407.
16. C.R. Rao, Advanced Statistical Methods in Biometric Research, New York, John Wiley & Sons, 1952.
17. S. Yaghoobzadeh Shahrestani and M. Yarmohammadi, The best single-observational and two-observational percentile estimations in the exponentiated Weibull-geometric distribution compared with maximum likelihood and percentile estimations. Int J Syst Assur Eng Manag, **10** (4) (2019), 525-532.